

Здесь $\hat{c}_i(t) = c_i(t_s) + k[c_i(t_{s+1}) - c_i(t_s)]$; $c_i(t_s)$ — коэффициенты статистической интерполяционной формулы, $i=1, 2, \dots, m$.

Коэффициенты $c_i(t_s)$ ($i=1, 2, \dots, m$) могут быть вычислены заранее и храниться в памяти ЭВМ. Учитывая равенства некоторых $c_i(t_s)$, следует хранить $m^2/2$ коэффициентов при четном m и $(m+1)m/2$ при нечетном.

Формула для относительного среднеквадратичного отклонения метода статистической фильтрации с последующей линейной интерполяцией имеет вид

$$\xi^2(t) = 1 + \left(1 + \frac{\sigma_\eta^2}{\sigma_x^2}\right) \sum_{i=1}^m \hat{c}_i^2(t) + \sum_{i=1}^{m-1} \left\{ \left[\rho_x(i\Delta t) + \frac{\sigma_\eta^2}{\sigma_x^2} \rho_\eta(i\Delta t) \right] \times \right. \\ \left. \times \sum_{\substack{j, r=1; \\ j=r}}^m \hat{c}_j(t) \hat{c}_r(t) \right\} - 2 \sum_{i=1}^m \hat{c}_i(t) \rho_x(\Delta t_i),$$

где $\sum_{\substack{j, r=1; \\ j=r}}^m$ означает суммирование по j и r от 1 до m при $j=r=i$.

Исследования показали, что $\max \xi^2(\Delta t)$ этого метода столь незначительно отличается от соответствующей зависимости метода статистической интерполяции, что на рисунке, обе кривые сливаются в одну. Для рассмотренных типов случайных процессов и помех увеличение количества отсчетов до трех и четырех не приводит к существенному уменьшению $\max \xi^2(t)$. Хорошие результаты позволяет получить скользящая интерполяция по четырем отсчетам (см. рисунок). Однако при выборе m следует помнить, что точность оценок корреляционных функций падает с увеличением сдвига $\tau = i\Delta t$.

ЛИТЕРАТУРА

- Пирожуков А. Я., Хрумало В. М., Хуснутдинов И. П. Инженерные методы назначения шага дискретизации.— Труды III Всесоюзного симпозиума «Методы представления и аппаратурный анализ случайных процессов и полей». Л., изд. ВНИИЭП, 1970.
- Каримов Р. Н., Некрасов В. Ф. Использование метода статистической интерполяции при дискретизации случайного процесса с помехой.— Труды VIII Всесоюзного симпозиума «Методы представления и аппаратурный анализ случайных процессов и полей». Каунас, изд. ВНИИЭП, 1975.
- Ефимов В. М. Квантование по времени при измерении и контроле. М., «Энергия», 1969.

Поступило в редакцию 4 ноября 1974 г.; окончательный вариант — 1 июля 1976 г.

УДК 519.2+ (016.3)

Т. А. АЛИЕВ
(Баку)

К ПРИНЦИПАМ ПОСТРОЕНИЯ МНОГОКАНАЛЬНЫХ ЦИФРОВЫХ КОРРЕЛЯТОРОВ

В настоящее время для определения корреляционных функций широко применяются мультиплексионные, релейные и знаковые корреляторы [1—3], в которых вычисления производятся по следующим выражениям соответственно

$$R_{xx,m}(\tau_i) = \frac{1}{n} \sum_{j=1}^n X(t_i) X(t_j + \tau_i); \quad (1)$$

$$R_{xx,p}(\tau_i) = \frac{1}{n} \sum_{j=1}^n X(t_j) \operatorname{sgn} X(t_j + \tau_i); \quad (2)$$

$$R_{xx,zn}(\tau_i) = \frac{1}{n} \sum_{j=1}^n \operatorname{sgn} X(t_j) \operatorname{sgn} X(t_j + \tau_i); \quad (3)$$

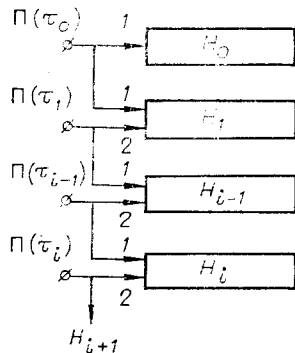


Рис. 1.

где $j = \overline{0, n}$; $i = \overline{0, q}$; $X(t_j)$ — случайный процесс, квантованный по уровню и времени; τ_i — сдвиг во времени, который необходимо создавать в i -м канале.

В цифровых многоканальных корреляторах значения корреляционных функций для всех τ_i по всем каналам ($i = \overline{1, q}$) определяются параллельно путем накопления соответствующих произведений сумматорами или счетчиками, которые содержат большое количество разрядов [2, 4]. В этом заключается одна из причин громоздкости и сложности многих известных многоканальных корреляторов.

В данной работе рассматриваются принципы организации накопления произведений, позволяющие существенно упростить все вышеуказанные корреляторы.

Анализ алгоритмов вычислений и принципов построения известных многоканальных цифровых корреляторов [1—3] показал, что значения сумм произведений, которые накапливаются в соответствующих каналах, содержат определенную избыточную информацию и для минимизации оборудования этих устройств требуется исключение избыточности. Для этого необходимо только в первом канале, т. е. при нулевом значении временного сдвига (τ_0), определять сумму указанных произведений, а в остальных каналах (τ_i) накапливать разности произведений предыдущего и данного каналов. При этом в накопителях получим:

$$\sum_{j=1}^n X(t_j) X(t_j + \tau_{i-1}) - \sum_{j=1}^n X(t_j) X(t_j + \tau_i) = \Delta \Pi_{m,i}; \quad (4)$$

$$\sum_{j=1}^n X(t_j) \operatorname{sgn} X(t_j + \tau_{i-1}) - \sum_{j=1}^n X(t_j) \operatorname{sgn} X(t_j + \tau_i) = \Delta \Pi_{p,i}; \quad (5)$$

$$\sum_{j=1}^n \operatorname{sgn} X(t_j) \operatorname{sgn} X(t_j + \tau_{i-1}) - \sum_{j=1}^n \operatorname{sgn} X(t_j) \operatorname{sgn} X(t_j + \tau_i) = \Delta \Pi_{zn,i}. \quad (6)$$

По значениям разностей сумм произведений $\Delta \Pi_{m,i}$; $\Delta \Pi_{p,i}$; $\Delta \Pi_{zn,i}$ можно определить разности ординат корреляционных функций, т. е.

$$(1/n) \Delta \Pi_{m,i} = R_{xx,m}(\tau_{i-1}) - R_{xx,m}(\tau_i) = \Delta R_{x,c,m}(\tau_i), \quad (7)$$

при этом деление значений $\Delta \Pi_{m,i}$; $\Delta \Pi_{p,i}$; $\Delta \Pi_{zn,i}$ на $n = 2^k$ практически сводится к определению места запятой в содержимом соответствующего накопителя. Используя величины $R_{xx,m}(\tau_0)$; $R_{xx,p}(\tau_0)$; $R_{xx,zn}(\tau_0)$ и $\Delta R_{xx,m}(\tau_0)$; $\Delta R_{xx,p}(\tau_0)$; $\Delta R_{xx,zn}(\tau_0)$, можно построить корреляционную функцию.

Естественно, что такие корреляторы будут отличаться от известных в основном организацией накопления произведений. Один из возможных вариантов накопления разностей произведений приведен на рис. 1, где j -е произведение в выражениях (1)–(4), (6) по каналу i обозначено $\Pi_j(\tau_i)$, а накопитель i -го канала — H_i . Причем если знак произведения $\Pi_j(\tau_i)$ положителен, то при подаче на вход 1 накопителя H_i это произведение прибавляется к его содержимому, если отрицательный то вычитается. Если произведение подается на вход 2, то происходит обратное. При таком накоплении произведений по окончании вычислений в накопителе H_0 получится сумма

$$\sum_{j=1}^n \Pi_j(\tau_0),$$

а в накопителях H_i — разность сумм $\sum_{j=1}^n \Pi_j(\tau_{i-1}) - \sum_{j=1}^n \Pi_j(\tau_i)$, которая для мультиплексорных корреляторов равна $\Delta \Pi_{m,i}$, для релейных — $\Delta \Pi_{p,i}$, для знаковых — $\Delta \Pi_{zn,i}$. Понятно, что при вычислении взаимно корреляционных функций будут накапливаться произведения $\Pi_j(\tau_i)$, имеющие соответственно следующий вид: $X(t_j) Y(t_j + \tau_i)$; $X(t_j) \operatorname{sgn} Y(t_j + \tau_i)$; $\operatorname{sgn} X(t_j + \tau_i)$.

Максимальное значение разрядности накопителя 1-го канала (см. рис. 1) равно разрядности накопителей известных корреляторов, а в остальных каналах определяется по выражениям:

$$m_{m,i} \geq \log_2 \Delta \Pi_{m,i(\max)}; \quad (8)$$

$$m_{p,i} \geq \log_2 \Delta \Pi_{p,i(\max)}; \quad (9)$$

$$m_{zn,i} \geq \log_2 \Delta \Pi_{zn,i(\max)}. \quad (10)$$

Для тех случаев, когда определения $\Delta R_{xx,m}(\tau_i)$; $\Delta R_{xx,p}(\tau_i)$; $\Delta R_{xx,zn}(\tau_i)$ не позволяют устранить избыточность разрядов накопителей, более целесообразно вычисление $\Delta' \Pi_i$ по выражению

$$\Delta' \Pi_i = \Delta \Pi_{i-1} - \Delta \Pi_i = \sum_{j=1}^n [\Pi_j(\tau_i) - 2\Pi_j(\tau_{i-1}) + \Pi_j(\tau_{i-2})], \quad (11)$$

так как определение $\Delta' \Pi_{m,i}$; $\Delta' \Pi_{p,i}$; $\Delta' \Pi_{zn,i}$ в накопителях соответствующих корреляторов потребляет несколько меньше элементов и по ним также можно определить $\Delta R_{xx,m}(\tau_i)$; $\Delta R_{xx,p}(\tau_i)$; $\Delta R_{xx,zn}(\tau_i)$, например,

$$\Delta R_{xx,m}(\tau_i) = \Delta R_{xx,m}(\tau_{i-1}) - (1/n) \Delta' \Pi_{m,i}. \quad (12)$$

На рис. 2 показан один из возможных вариантов определения $\Delta' \Pi_i$, где в первом канале накапливается $\sum_{j=1}^n \Pi_j(\tau_0)$, во втором $-\sum_{i=1}^n [\Pi_j(\tau_0) - \Pi_j(\tau_1)]$, в i -м — $\sum_{j=1}^n [\Pi_j(\tau_i) - 2\Pi_j(\tau_{i-1}) + \Pi_j(\tau_{i-2})]$. Входы накопителей выполняют те же функции, что и на рис. 1, отличием является только то, что через вход 2 информация поступает не на первый, а на второй разряд накопителя H_i , т. е. со сдвигом на один разряд; это позволяет при подаче на этот вход $\Pi_j(\tau_{i-1})$ увеличить или уменьшить его содержимое на $2\Pi_j(\tau_{i-1})$. При этом в соответствующих корреляторах разрядность накопителя i -го канала будет равна

$$m_{m,i} \geq \log_2 \Delta' \Pi_{m,i(max)}; \quad (13)$$

$$m_{p,i} \geq \log_2 \Delta' \Pi_{p,i(max)}; \quad (14)$$

$$m_{zn,i} \geq \log_2 \Delta' \Pi_{zn,i(max)}. \quad (15)$$

Таким образом, количество разрядов накопителей на рис. 1, 2 определяется максимальными значениями $\Delta \Pi_{m,i}$; $\Delta \Pi_{p,i}$; $\Delta \Pi_{zn,i}$; $\Delta' \Pi_{m,i}$; $\Delta' \Pi_{p,i}$; $\Delta' \Pi_{zn,i}$, которые, в свою очередь, зависят от количества отсчетов n , разрядности исходных данных X_j , количества каналов q и от класса корреляционных функций.

Количество каналов q также зависит от класса корреляционных функций. Если корреляционная функция имеет колебательный характер или ее вариация между соседними точками существенна, то для таких случаев проектируются корреляторы с большим количеством каналов. Когда по полученным в накопителях результатам возможно с достаточной точностью представить корреляционную функцию в непрерывной форме, тогда максимальное значение разностей их ординат практически всегда оказывается во много раз меньше максимальных значений самих ординат. Поэтому на разрядность накопителей рис. 1 и 2 решающее влияние оказывает количество каналов коррелятора, а зависимость количества разрядов от класса корреляционных функций при правильном выборе количества каналов практически не приводит к существенному различию в количестве разрядов накопителей и при применении выражений (4) и (12) всегда требуются накопители со значительно меньшим количеством разрядов, чем обычные корреляторы.

Как известно, при обычном методе вычислений погрешность оценки ординат корреляционных функций в основном зависит от количества отсчетов n и от разрядности исходных данных X_i , по которым определяется разрядность накопителей известных устройств [2]. В приведенных на рис. 1, 2 вариантах вы-

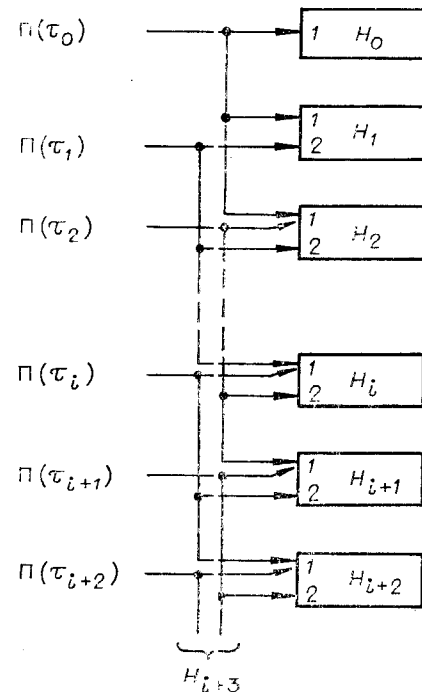


Рис. 2.

q	$l=6, n=512, l=6, n=1024, l=6, n=2048, l=6, n=4096$											
	m_M	m_p	m_{zn}	m_M	m_p	m_{zn}	m_M	m_p	m_{zn}	m_M	m_p	m_{zn}
1	21	15	9	22	16	10	23	17	11	24	18	12
8	19; 14	13; 8	7; 4	20; 14	14; 8	8; 4	21; 14	15; 8	9; 4	22; 14	16; 8	10; 5
16	18; 14	12; 8	6; 4	19; 14	13; 8	7; 4	20; 14	14; 8	8; 4	21; 14	15; 8	9; 5
32	17; 13	11; 8	5; 3	18; 13	12; 8	6; 3	19; 13	13; 8	7; 4	20; 13	14; 8	8; 4
64	16; 13	10; 8	4; 3	17; 13	11; 8	5; 3	18; 13	12; 8	6; 3	19; 13	13; 8	7; 4
128	15; 13	9; 8	3; 3	16; 13	10; 8	4; 3	17; 13	11; 8	5; 3	18; 13	12; 8	6; 3

числения дополнительная погрешность не возникает. В этом можно убедиться, если допустить, что имеются три группы устройств, из которых 1-я определяет известным способом $R_{xx,M}(\tau_i)$; $R_{xx,p}(\tau_i)$; $R_{xx,zn}(\tau_i)$, 2-я — $\Delta\Pi_{M,i}$; $\Delta\Pi_{p,i}$; 3-я — $\Delta'\Pi_{M,i}$; $\Delta'\Pi_{p,i}$; $\Delta'\Pi_{zn,i}$, и на входах всех трех групп поступают одни и те же данные. При этом очевидно, что если в накопителях не производится округление вычислений и не допускается переполнение разрядной сетки, то по полученным результатам 2-й и 3-й групп можно точно определить результаты вычислений в соответствующих накопителях 1-й группы.

В таблице в качестве примера приведены необходимые количества разрядов, которые определены по максимальной величине абсолютных значений ординат соседних точек корреляционных функций и их первых и вторых разностей из результатов обработки сигналов типовых нефтеперерабатывающих объектов. При этом разрядность в исходных данных X_j была принята равной 6; количество каналов $q=8, 16, 32, 64, 128$; количество выборок $n=512, 1024, 2048, 4096$. Числа первой строки всех столбцов показывают количество разрядов накопителей соответствующих известных корреляторов накопителей 1-го канала по рис. 1 и 2. В последующих строках каждого столбца приведены два числа, равные количеству разрядов накопителей остальных каналов при определении $\Delta\Pi(\tau_i)$ и $\Delta'\Pi(\tau_i)$ соответственно. Данные таблицы подтверждают экономичность накопителей по рис. 1 и 2. Однако такие накопители должны осуществлять не только операцию сложения, но и вычитания. Известно, что на практике только лишь в мультиликационных корреляторах, выполняющих вычисление корреляционных функций центрированных случайных процессов, не требуется выполнение операций вычитания, а во всех релейных, знаковых и мультиликационных корреляторах, предназначенных для определения корреляционных функций центрированных случайных процессов, требуется выполнение операции сложения и вычитания. Поэтому в этих устройствах в качестве накопителей используются реверсивные счетчики, реверсивные сумматоры или же операция вычитания заменяется сложением обратных и/или дополнительных кодов числа. В рассматриваемых схемах рис. 1, 2 для накопления результатов вычислений также можно использовать реверсивные счетчики или сумматоры, и при этом не требуется дополнительных вычитателей.

На основе предложенных в работе принципов можно построить многоканальные мультиликационные, релейные, знаковые корреляторы, которые, имея одинаковые метрологические характеристики с аналогичными известными устройствами, потребуют значительно меньше оборудования.

ЛИТЕРАТУРА

- Балл Г. А. Аппаратурный корреляционный анализ случайных процессов. М., «Энергия», 1968.
- Грибанов Ю. И., Веселова Г. П., Андреев В. Н. Автоматические цифровые корреляторы. М., «Энергия», 1971.
- Мирский Г. Я. Аппаратурное определение характеристик случайных процессов. М., «Энергия», 1973.
- Домарацик А. Н., Иванов Л. Н., Карышев Е. Н., Синицын Б. С. Дискретная измерительная корреляционная система. Новосибирск, «Наука», 1965.

Поступило в редакцию 10 января 1975 г.;
окончательный вариант — 10 августа 1976 г.